

В.В. Зуев, А.И. Петрова

АНАЛИЗ ВЛИЯНИЯ ВКЛАДОВ МЕЖМОЛЕКУЛЯРНЫХ ВЗАИМОДЕЙСТВИЙ НА СДВИГИ КОЛЕБАТЕЛЬНО- ВРАЩАТЕЛЬНЫХ ЛИНИЙ СО И NO С ПОМОЩЬЮ УАТКФ МОДЕЛИ

На основании УАТКФ модели, позволяющей учесть зависимость скорости поступательного движения поглощающей излучение молекулы от вращательного квантового числа J , проведен расчет параметров сдвигов центров линий колебательной полосы 0–2 для следующих молекулярных сред CO–CO, CO–N₂, NO–NO, NC–N₂. Расчеты согласуются с экспериментальными данными.

По сравнению с задачей расчета полуширин (γ) колебательно-вращательных линий CO и NO, выполненной нами в [4], определение сдвигов центров линий (δ) для всего спектрального диапазона частот является значительно более сложной задачей. Так, для определения параметров δ необходимо учитывать как мнимые части сечения столкновений (\tilde{S}_l), так и S_{2t} [1–3]. Кроме того, согласно нашей модели УАТКФ [3], сдвиги центров линий сильно зависят от скорости поступательного движения поглощающей молекулы ($v_1(J_i)$), которая изменяется с увеличением вращательного числа J_i .

Выражение для сдвига линии с учетом $\tilde{S}_l = \lambda_i / b^{h_l}$, $S_{2t} = \lambda_{2t} / b^{h_t}$ и средней относительной скорости движения взаимодействующих молекул $v_2 = (i, f) = f(v_1(i, f), \bar{v}_2)$ для спектрального перехода $i \rightarrow f$ [3]

$$\begin{aligned} \delta_{if} = & -\frac{N}{2c} v_2(i, f) b^2(i, f) \sum_g \rho_g \sum_l \frac{\tilde{\lambda}_l(b_{ep}(i, f), \bar{f}_u)}{b^{h_l}(i, f)} \left[\frac{2}{(h_l - 2)} - \right. \\ & \left. - \sum_t \frac{2}{(h_t - h_l - 2)} \frac{\lambda_{2t}(b_{ep}(i, f), \bar{f}_u)}{b^{h_t}(i, f)} \right] \end{aligned} \quad (1)$$

зависит от минимального прицельного расстояния $b(i, f)$, на которое могут сблизиться молекулы во время столкновения, двигаясь со скоростями $v_1(i, f)$ и \bar{v}_2 . Заметим, что параметры h_l и h_t , в зависимости от типа межмолекулярного взаимодействия (l, t), принимают разные, но определенные значения [3] (например, для вклада \tilde{S}_{1dis} параметр $h_l = 5$, а для S_{2pp} $h_t = 4$ и т.д.).

На рис. 1 и 2 сплошными кривыми представлены графические зависимости $\delta(J_i)$ для R - и P -ветвей спектральной полосы CO 0–2, рассчитанные памп по (1) для случаев комбинаций сталкивающихся молекул соответственно CO–CO и CO–N₂. Здесь же кружками приведены значения экспериментально измеренных сдвигов δ [7], а вертикальными отрезками показаны интервалы экспериментальных погрешностей, которые, как видно, весьма велики. Это, к сожалению, затрудняет количественное сравнение рассчитанных и экспериментально измеренных значений δ . В целом, как видно из рис. 1 и 2, рассчитанные на основе модели УАТКФ значения δ практически не выходят за пределы экспериментальных погрешностей.

Расчеты $\delta(J_i)$ для 0–2 полосы CO по формуле (1) проводились с использованием тех же самых молекулярных параметров, что и при расчете полуширины $\gamma(J_i)$, представленных в [4]. Используя величину измерения поляризуемости при переходе поглощающей молекулы из колебательного состояния V_i в состояние V_f $\Delta\alpha = \alpha_f - \alpha_i = 0,085$, мы провели расчет $\delta(J_i)$ по традиционной АТКФ модели [5, 6] с такими же исходными молекулярными данными и типами взаимодействий. Эти результаты для P -ветви изображены на рис. 1, 2 штриховыми линиями. Видно, что значения δ_{ATKF} почти в 3 раза превышают рассчитанные значения по УАТКФ модели и экспериментальные данные. Чтобы подогнать значения δ_{ATKF} к эксперименту, необходимо значительно занизить величину $\Delta\alpha$. Так, например, изображенные штрихпунктирными кривыми на рис. 1 и 2 подогнанные значения α_{ATKF} , попадающие в интервал экспериментальных значений, получены при величине $\Delta\alpha = 0,015$, что в 5 раз меньше исходных данных. Такое несоответствие обусловлено тем, что в традиционном АТКФ подходит игнорируется тот факт, что при столкновениях частиц скорость движения поглощающей излучение молекулы зависит от квантовых состояний i, f .

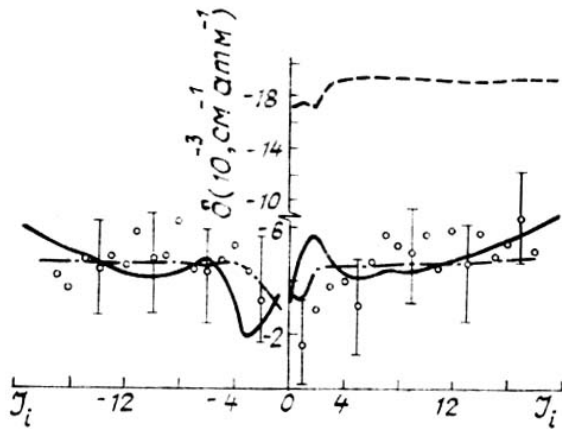


Рис. 1. Сдвиги линии CO–N₂ в 0–2 полосе, $T = 300$ К. Обозначения: кружочки — эксперимент [7], сплошные линии — формула (1) с $\Delta\alpha = 0,085$, штрихпунктирные — АТКФ с $\Delta\alpha = 0,015$, штриховые — АТКФ с $\Delta\alpha = 0,085$

Следует подчеркнуть, что, как правило, в представленных в литературе данных расчета δ с помощью традиционного АТКФ подхода не учитываются вклады от действительной части сечения столкновений S_{2t} ($S_{2\mu\mu}, S_{2\mu q}, S_{2q\mu}, S_{2qq}, S_{2dis}$, индексы μ касаются дипольного, q — квадрупольного, а dis — дисперсионного взаимодействия), а только вклады $\tilde{S}_{1dis}, \tilde{S}_{2\mu\mu}, \tilde{S}_{2\mu q}, \tilde{S}_{2q\mu}, \tilde{S}_{2qq}$, составляющие мнимую часть сечения S_l . Рассмотрим, как влияет учет или отсутствие вкладов третьего и четвертого порядков по взаимодействию ($S_{2t} \neq 0$ или $S_{2t} = 0$) при расчете значений δ по УАТКФ модели (формула (1)) для R -ветви в первой обертонной полосе CO. Данные расчетов приведены в табл. 1. Видно, что игнорирование вкладами S_{2t} в этом случае приводит к завышению результатов расчета в ряде случаев вплоть до 30%.

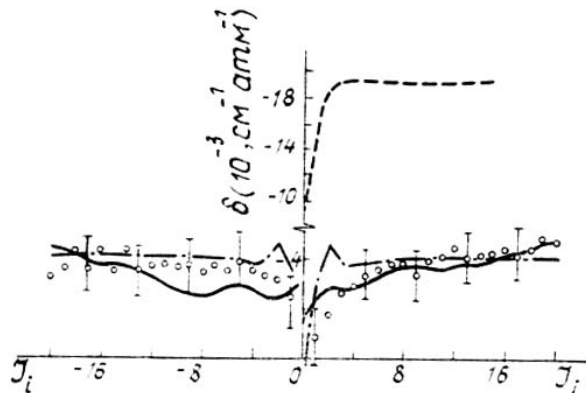


Рис. 2. Сдвиги линий CO–CO в 0–2 полосе, $T = 300$ К. Обозначения совпадают с обозначениями рис. 1

Обратимся вновь к рис. 2. В области малых $J_i < 6$ отчетливо видно экспериментальное поведение $\delta(J_i)$, которое для R - и P -ветвей характеризуется как бы зеркально-перевернутым изображением. Для ответа на вопрос, какое же взаимодействие ответственно за экстремальное поведение $\delta(J_i)$ в этой области, проведем перебор по типам межмолекулярных взаимодействий S_{2t} и \tilde{S}_l . Поскольку в литературе при оценке величины δ часто ограничиваются только влиянием S_{1dis} (S_{1ind}) [7, 8], то в первую очередь и рассмотрим этот случай. Оказывается, что если оценку сдвига ограничивать только этим вкладом, то получается монотонная зависимость $\delta(J_i)$ (штриховая кривая рис. 3) как для R -, так и для P -ветви.

Если оценивать влияние мнимой части \tilde{S}_{2qq} на величину δ в нашей модели, то оказывается, что при $\tilde{S}_{2qq} = 0$ также наблюдается монотонность в поведении $\delta(J_i)$ (штрихпунктирная кривая, рис. 3) без каких-либо выраженных экстремумов. Таким образом, наличие экстремумов в области малых J_i однозначно определяется \tilde{S}_{2qq} (сплошная кривая, рис. 3). Подчеркнем, что окончательные результаты расчета δ , изображенные на рис. 3 сплошной кривой, учитывают вклады взаимодействий по четвертый порядок включительно. Напомним, что согласно табл. 1 отсутствие S_{2t} приводит к значительному завышению значений $\delta(J_i)$.

Таблица 1

Значения сдвигов CO—CO и CO—N₂ по УАТКФ модели [4]
при $T = 300$ К (10^{-3} , см⁻¹ · атм⁻¹) в полосе 0—2 (P -ветвь)

J_i	$\delta_{\text{CO}-\text{CO}}$		$\delta_{\text{CO}-\text{N}_2}$	
	$S_{2i} \neq 0$	$S_{2i} = 0$	$S_{2i} \neq 0$	$S_{2i} = 0$
0	—1,5	—1,76	—3,17	—3,44
1	—2,5	—3,4	—5,01	—6,2
2	—3,04	—4,0	—5,7	—7,0
3	—2,6	—3,4	—4,7	—5,6
4	—2,7	—3,5	—4,1	—4,8
5	—3,1	—3,93	—4,1	—4,8
6	—3,41	—4,23	—4,17	—4,91
7	—3,6	—4,38	—4,27	—5,0
8	—3,63	—4,36	—4,35	—5,13
9	—3,6	—4,25	—4,41	—5,20
10	—3,55	—4,16	—4,53	—5,37
11	—3,53	—4,09	—4,67	—5,52
12	—3,59	—4,13	—4,8	—5,67
13	—3,73	—4,26	—4,93	—5,78
14	—3,88	—4,4	—5,10	—5,92
15	—4,05	—4,55	—5,30	—6,10
16	—4,18	—4,65	—5,5	—6,30
17	—4,31	—4,74	—5,7	—6,30
18	—4,47	—4,83	—5,9	—6,5
19	—4,67	—5,00	—6,20	—6,70
20	—4,85	—5,12	—6,47	—6,92

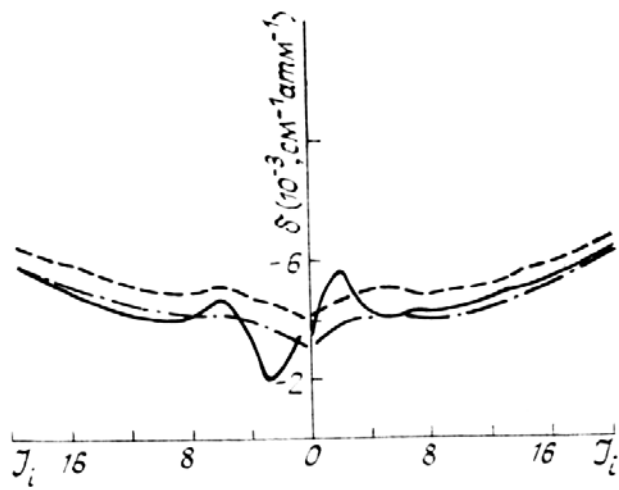


Рис. 3 Анализ аномального поведения сдвигов линии для первых молекулярной среды CO—N₂ (0—2 полоса, $T = 300$ К). Обозначения: сплошные линии — формула (1), штрихпунктирные — формула (1) с $S_{qq} \neq 0$, штриховые — формула (1) только $S_{1dis} \neq 0$

Дальнейшее уточнение значений сдвигов δ_{CO} может основываться: 1) на использовании в нашей УАТКФ модели прямого интегрирования по прицельному расстоянию в отличие от традиционной схемы АТКФ подхода, 2) на замене средней по состояниям i, f относительной скорости $v(i, f)$ на скорости $v(i)$ и $v(f)$ [3], 3) на уменьшении погрешностей определения $v(i)$ и $v(f)$. Однако на данном

этапе такое уточнение пока бессмысленно, поскольку отсутствуют экспериментальные значения δ с необходимой точностью.

Так же, как и в случае CO, при вычислении параметров сдвигов центров колебательно-вращательных линий NO в колебательной полосе $V_i = 0 \rightarrow V_f = 2$ использовалась колебательная зависимость для поляризуемости (α)

$$\Delta\alpha = \alpha_{Vf} - \alpha_{Vi} = \Delta V \cdot K_{CO(NO)} \quad (2)$$

с $\Delta V = V_f - V_i$. В табл. 2 приведены данные расчета δ_{NO-N_2} и δ_{NO-NO} для R-ветви 0–2 полосы NO и экспериментальные данные из работы [9]. Видно, что результаты расчета при $S_{2t} \neq 0$ согласуются с экспериментом.

В случае пренебрежения вкладом S_{2t} значения δ завышаются до 40%. Наконец, отметим, что в отличие от поведения δ_{O-N_2} в области малых J_i , в зависимости $\delta_{NO-N_2}(J_i)$ экспериментального поведения не наблюдается.

Таблица 2

δ_{NO-N_2} и δ_{NO-NO} по модели (1) при $T = 300$ К (10^{-3} , см $^{-1}$ · атм $^{-1}$) R-ветвь, 0–2 полоса

J_i	δ_{NO-N_2}			δ_{NO-NO}		
	Наш расчет		Эксперимент [9]	Наш расчет		Эксперимент [9]
	$S_{2t} \neq 0$	$S_{2t} = 0$		$S_{2t} \neq 0$	$S_{2t} = 0$	
0,5	-2,92	-3,36		-2,71	-2,9	
1,5	-3,47	-4,47		-3,33	-4,69	
2,5	-3,74	-5,0		-3,33	-4,73	
3,5	-4,16	-5,81		-3,31	-4,75	
4,5	-4,49	-6,40		-3,27	-4,76	
5,5	-4,63	-6,80	для $J_i > 8,5$	-3,29	-4,86	для $J_i > 8,5$
6,5	-4,64	-6,95		-3,47	-5,15	
7,5	-4,65	-6,83	$\delta_{cp} \approx -4,5$	-3,70	-5,61	$\delta_{cp} \approx -3,8$
8,5	-4,63	-6,78		-3,89	-6,06	
9,5	-4,59	-6,71		-4,07	-6,48	
10,5	-4,58	-6,71		-4,22	-6,73	

Итак, теоретический анализ влияния разных типов межмолекулярных взаимодействий и скоростей поступательного движения поглощающей излучение молекулы ($v_1(J_i)$) на параметры сдвигов спектральных линий ($V_i J_i \rightarrow V_f J_f$) для разных молекулярных систем показал следующее.

1) Игнорирование вкладов S_{2t} сечения столкновений приводит к значительному завышению значений δ (на 30÷40%).

2) С увеличением вращательного числа J_i , эффект незначительного изменения кинетической энергии поглощающей молекулы приводит к увеличению смещения центра линии.

3) Ярко выраженный экстремум в области малых J_i , наблюдаемый в случае CO–N₂, обусловлен сильным влиянием вклада \tilde{S}_{2qq} .

1. Sharma R. D., Coledonia W. R. //J. Chem. Phys. 1971. V. 54. P. 434.
2. Boulet C., Robert D., Galatry L. //J. Chem. Phys. 1976. V. 65. P. 5302.
3. Зуев В.В., Петрова А.И. //Оптика атмосферы. 1990. Т. 3. № 11. С. 1123–1128.
4. Зуев В.В., Петрова А.И. //Оптика атмосферы. 1991. Т. 4. № 5. С. 536–541.
5. Tsao C.J., Curnutte B. //JQSRT. 1962. V. 2. P. 41.
6. Frost //J. Phys. B: Atom. Molec. Phys. 1976. V. 9. № 6. P. 1001.
7. Bouanich J. P. //Can. J. Phys. 1983. V. 61. P. 919.
8. Быков А.Д., Макушкин Ю.С., Синица Л.Н., Стройнова В.Н. // Оптика атмосферы. 1988. № 5. С. 31.
9. Pine A.S., Maki A.G. //J. Mol. Spectr. 1985. V. 114. P. 132.

Институт оптики атмосферы СО АН СССР,
Томск

Поступила в редакцию
25 декабря 1991 г.

V. V. Zuev, A. I. Petrova. **Analysis of the Contributions from Different Orders Interactions into the Shifts of Vibrational-Rotational Lines of CO and NO Based on the Use of IATCF Model.**

Based on the use of the IATCF model which enables one to account for the dependence of the absorbing molecular translational velocity on the rotational quantum number J we have calculated the shifts of the absorption line centers in the vibrational band 0–2 of the molecular media CO–CO, CO–N₂, NO–NO and NO–N₂. A comparison made between the calculated and experimental values showed good agreement.